

大容量鍋爐机组設計及計算

〔苏联〕 B. M. 馬克西莫夫 著

唐 国 琛 譯

上 海 科 學 技 术 出 版 社

內 容 提 要

本书綜述与汽輪发电机組配套的大容量鍋炉在布置、計算和結構方面的主要問題，并介紹苏联以及其他国家鍋炉工业的新技术成就。

本书可供从事設計与制造热力設備的工程技术人员参考，也可作为大专学校鍋炉制造专业的教学参考书。

КОТЕЛЬНЫЕ АГРЕГАТЫ БОЛЬШОЙ

ПАРОПРОИЗВОДИТЕЛЬНОСТИ

РАСЧЕТ И КОНСТРУИРОВАНИЕ

В. М. Максимов

Машгиз • 1961

大容量鍋炉机組設計及計算

唐 国 琛 譯

上海科学技术出版社出版 (上海瑞金二路 450 号)
上海市书刊出版业营业許可證 093 号

商务印书館上海厂印刷 新华书店上海发行所发行

开本 787×1092 1/18 印張 22 排版字數 564,000
1965 年 5 月第 1 版 1965 年 5 月第 1 次印刷
印数 1—2,500

统一书号 15119·1805 定价(科六) 3.10 元

原序

近年来动力工业的高速发展，主要方法是采用单元功率很大的、新型的、更为现代化的动力装置，它們具有很高的經濟性，而且运行十分可靠。

在新建的热电站中，将陆续安装 10 万、15 万、20 万及 30 万瓩的发电机組。在前三种机组中，配套鍋炉的参数为：蒸汽压力 140 絶对大气压，过热温度 570°C ，每小时的蒸发量分别为 420 吨、530 吨及 640 吨蒸汽；配 30 万瓩机组的鍋炉参数为：超临界蒸汽压力 ($p=255$ 絶对大气压) 过热温度达 585°C ，蒸发量为 950 吨/小时。几年以后，与上述超临界蒸汽参数相同的 60 万瓩发电机組也将投入运行，其配套鍋炉的蒸发量約为 1900 吨/小时。此外，由背压汽輪机与参数 $p=315$ 絶对大气压， $t_{ne}=655^{\circ}\text{C}$ 的 710 吨/小时直流鍋炉組成的发电机組也将于那时投入运行。

在今后，热电站将广泛地燃用天然气、重油以及劣质煤。

在新型动力装置中，每生产 1 瓩·小时电能的成本和每瓩裝机容量的設備初投資均將显著降低。

在苏联，新型大容量鍋炉的設計是建立在理論、實驗以及大規模設計研究的基础上。与各种燃料相应的、最适合的大容量鍋炉型式迄今尚未完全肯定，目前正处于探索的阶段。

通过配 10 万 ~ 30 万瓩发电机組的新型鍋炉的方案設計及技术設計的討論，在热力工程界中对許多近代鍋炉制造問題（例如双面曝光水冷壁，直流鍋炉炉膛水冷壁的布置，过渡区的布置，中間再热温度的調节方法，鍋炉炉墙等等）尚未取得一致意見，因而在各台鍋炉上所采取的解决办法尚須在进行第一台試制产品的調整、研究和运行后才能确定。

因为解决上述这些問題具有极大的科学技术价值，同时也希望帮助大学高年級学生在課程設計以及特别是在毕业設計中順利地进行大容量鍋炉的設計，故而作者試圖就这些复杂而又迫切的問題中的某些部分汇集并綜合一些資料。在編写过程中，曾采用了某些設計院和产品設計单位中很多非常有价值的設計資料，以及近年来在各种定期刊物和杂志文献上零星发表的有关材料。此外，作者还根据需要，首先是从教学着眼，引用了各种計算标准中的材料，历次技术会議和技术經濟会議所正式公布的材料。

目 录

原 序

| | |
|-----------------------------------|-----|
| 第一章 蒸汽参数及其对受热面吸热量分配的影响 | 1 |
| 第二章 鍋爐机組的热力系統及其選擇 | 4 |
| 第三章 単元机組的热力系統..... | 15 |
| 第四章 大容量鍋爐的布置..... | 22 |
| 1. 鍋爐的布置 | 22 |
| 2. 単元机組中应配备的鍋爐台数 | 27 |
| 3. 新型大容量鍋爐的通用化 | 29 |
| 4. 鍋爐烟道 | 29 |
| 5. 露天电站和半露天电站中鍋爐机組布置的特点 | 34 |
| 6. 鍋爐的組合制造 | 36 |
| 第五章 大容量鍋爐的結構特点 | 43 |
| 1. 汽鼓鍋爐与直流鍋爐的基本特性 | 43 |
| 2. 大容量汽鼓鍋爐 | 44 |
| 3. 大容量直流鍋爐 | 83 |
| 第六章 燃料、空气以及燃燒产物的容积和热焓 | 123 |
| 1. 燃料 | 123 |
| 2. 空气需要量和炉内过剩空气系数 | 129 |
| 3. 燃燒产物数量的計算 | 132 |
| 4. 空气和燃燒产物的焓 | 134 |
| 第七章 鍋爐机組的热平衡与空气平衡 | 137 |
| 1. 热平衡和燃料消耗量的計算 | 137 |
| 2. 空气平衡 | 143 |
| 3. 烟气和工质的热平衡 | 145 |
| 第八章 煤粉制备系統和磨煤机型式的选择 | 147 |
| 1. 磨煤机的选用及其技术特性 | 147 |
| 2. 煤粉制备系統的选择 | 150 |
| 3. 每台鍋爐需要配备的磨煤机台数 | 153 |
| 4. 竪井磨煤机和筒型球磨机規范的选择及其磨煤量的确定 | 154 |
| 第九章 燃料干燥的热力計算 | 161 |
| 第十章 大容量鍋爐的炉膛及其热力計算 | 169 |
| 1. 炉膛型式的選擇 | 169 |
| 2. 噴燃装置的選擇 | 170 |
| 3. 炉膛基本尺寸的選擇以及噴燃器的布置 | 186 |
| 4. 炉膛部件的結構 | 191 |

| | |
|---------------------------------------|-----|
| 5. 炉膛的热力計算 | 197 |
| 6. 旋风前置炉和燃烬室基本尺寸的选择及其热力計算 | 205 |
| 7. 炉膛中各个水冷壁区段吸热量的确定 | 213 |
| 第十一章 傳熱系数和温压的計算 | 216 |
| 1. 傳熱系数的計算 | 216 |
| 2. 有效截面和气流速度的計算 | 220 |
| 3. 对流放热系数的計算 | 223 |
| 4. 輻射放热系数的計算 | 233 |
| 5. 管子外表灰污层温度的計算 | 236 |
| 6. 温压的計算 | 237 |
| 第十二章 对流受热面与半辐射受热面的設計及热力計算 | 242 |
| 1. 对流蒸发受热面的結構及計算 | 242 |
| 2. 屏式(半辐射式)受热面的結構及計算 | 244 |
| 3. 蒸汽过热器的結構及計算 | 247 |
| 4. 省煤器的結構及計算 | 263 |
| 5. 空气預热器的結構及計算 | 270 |
| 6. 鍋爐机組进行校核計算和設計計算的方法 | 277 |
| 7. 确定附加受热面及轉弯烟室中的吸热量 | 279 |
| 第十三章 大容量鍋爐的炉墙结构及其热力計算 | 280 |
| 1. 炉墙結構 | 280 |
| 2. 炉墙热力計算及其材料选择 | 292 |
| 第十四章 鍋爐机組的空气动力計算 | 296 |
| 1. 受热面阻力 | 296 |
| 2. 烟道及空气管道的阻力 | 304 |
| 3. 烟囱主要尺寸的选择及其阻力 | 310 |
| 4. 自拔风的計算 | 310 |
| 5. 烟道及空气通道的总阻力和总压头降 | 310 |
| 6. 选用送、引风机的計算特性 | 311 |
| 第十五章 鍋爐流体动力計算 | 316 |
| 1. 联箱間平行管系中压力降的計算 | 316 |
| 2. 自然循环汽鼓鍋爐的循环系統 | 319 |
| 3. 汽鼓鍋爐循环系統的选择与循环回路布置 | 324 |
| 4. 循环回路計算 | 326 |
| 5. 自然循环回路工作可靠性的檢查 | 334 |
| 6. 直流鍋爐的流体动力系統和流体强制运动时并列管圈的阻力計算 | 338 |
| 7. 分离装置的流体动力計算 | 342 |
| 8. 流动不均匀性 | 345 |
| 第十六章 高压鍋爐的水质規范及分离装置 | 347 |
| 第十七章 鍋爐元件的强度計算 | 357 |
| 1. 汽鼓和联箱的結構 | 357 |
| 2. 壁温計算 | 361 |
| 3. 鋼材的选用 | 363 |

| | |
|-----------------------------|-----|
| 4. 許用应力的确定 | 364 |
| 5. 管子、联箱及汽鼓圆筒部分等壁厚的确定 | 367 |
| 6. 模压封头壁厚的确定 | 371 |
| 7. 平端板壁厚的确定 | 371 |
| 8. 支吊零件钢材的选用及其計算 | 372 |
| 第十八章 大容量鍋炉的构架 | 374 |
| 第十九章 受热面的飞灰磨损 | 385 |
| 参考文献 | 388 |

第一章 蒸汽参数及其对受热面吸热量分配的影响

当蒸汽和水的焓随着压力及温度而改变时，锅炉各个受热面的吸热量亦随之而变。从图1可知，在40绝对大气压以下时，饱和蒸汽的焓 i'' 随着压力的增加而增加，然后则随着压力的增加而下降；加热到沸腾温度的液体焓 i' 随着压力的增长而不断地增大，到达临界点A时，工质变成单相；过热蒸汽的焓 i_{ne} 在压力不变时，随着温度的增加而增加，但在温度不变时，却随着压力的升高而降低。

在蒸汽循环中，由于压力逐渐提高，给水回热获得迅速的发展，锅炉给水的温度和热焓 i_{ns} 也不断增加。因此蒸汽参数越高，锅炉中为获得1公斤蒸汽所消耗的热量反而越少。例如获得1公斤超高参数($p=240$ 绝对大气压， $t_{ne}=600^{\circ}\text{C}$)蒸汽比获得1公斤中压($p=32$ 绝对大气压， $t_{ne}=420^{\circ}\text{C}$)蒸汽的耗热量要少10%。

所以說，在 ip 坐标上，过热蒸汽、饱和蒸汽、沸腾水、给水等焓的变化曲线明显地表示出在过热(Q_{ne})、蒸发(Q_{ue})及加热(Q_{ek})三部分受热面之间的热量分配特性。当压力升高时，锅炉机组中用于将水加热到沸腾温度所消耗的热量不断地增长，这时省煤器受热面当然也相应地不断增加。

当压力高出40绝对大气压时，蒸发所需的热量以及蒸发受热面都减少，而在临界点时蒸发受热面完全消失，那时仅有加热及过热受热面。

增加蒸汽温度可提高蒸汽循环的经济性。采用蒸汽中间再热①会使过热受热面增加，并使循环效率进一步提高。

在设计热电站时，往往要对各种设计方案的单位热耗量和每瓦的设备投资进行技术-经济计算以后才能选定正确的蒸汽参数。

在苏联锅炉制造业中，高压大容量锅炉的蒸汽参数和给水温度(表1)可根据苏联

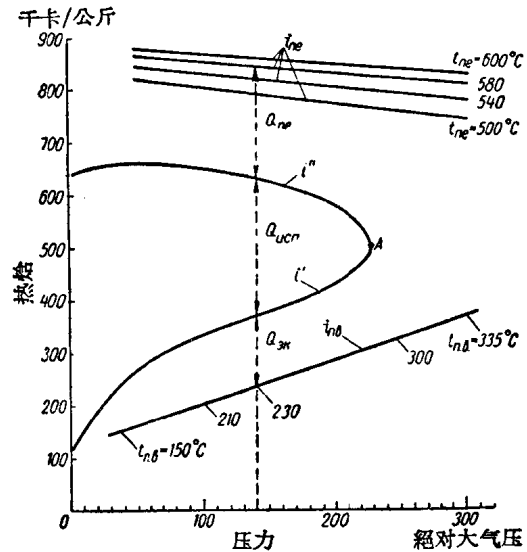


图1 随着工质压力及温度而变的
热焓变化曲线

i_{ne} -过热蒸汽； i'' -干饱和蒸汽；
 i' -沸腾水； i_{ns} -给水

① 在超高参数时，为了提高蒸汽动力循环的热效率和降低汽轮机最末级的蒸汽湿度，常常采用蒸汽的再热循环。这种把在汽轮机高压汽缸内作过部分功的蒸汽再一次进行过热的热交换器，称为中间过热器或再热器或二次过热器。——译注

国家标准 ГОСТ 3619-59 选用。表格中括号内所列出的锅炉蒸发量一般不建议采用。对配汽轮发电机组的 140 级绝对大气压锅炉，正在考虑进一步修改现有的额定蒸发量。

表 1 高压锅炉的基本蒸汽参数

| 标 准 参 数 | | | | |
|-----------------|--------------|--------------------|--------------|------------------------------|
| 蒸汽压力 (绝对大气压) | 蒸汽温度 (°C) | 中间再热蒸汽出口温度 (°C) | 给水温度 (°C) | 锅 炉 蒸 发 量 (吨/小时) |
| 100 | 540 | — | 215 | 60; 90; 120; 160; 220; (430) |
| 140 | 570 | — | 230 | 160; 210; 320; 480 |
| 140 | 570 | 570 | 230 | (250); 320; 500; 640 |

当负荷在 70~100% 额定负荷范围内变化时，应保证过热汽温维持不变；当负荷在 80~100% 额定负荷范围内变化时，再热汽温亦应维持不变。当锅炉负荷低于 80% 额定负荷时，中间再热温度允许下降，但是负荷每降低 3~3.5%，温度的下降幅度不得超过 5°C。

冶金工业所取得的成就，使苏联工厂能够基本上利用珠光体钢来制造工质温度高达 540~570°C 的蒸汽锅炉。例如塔岡罗格锅炉厂和波多尔斯基重型机械制造厂，以及中央锅炉汽轮机研究所莫斯科分所一起协作，已经设计成配 10 万、15 万及 20 万千瓦发电机组的许多新型锅炉。其蒸汽参数为

| | | | |
|-----------|-----|-----|-----|
| 压力(绝对大气压) | 100 | 140 | 175 |
| 温度(°C) | 540 | 570 | 565 |

今后若进一步将蒸汽温度提高到 650°C，火力发电站的效率当然还会继续增加，但制造这种锅炉需要采用昂贵的奥氏体钢。苏联设计机构以及外国制造公司通过计算都表明：目前还不能从经济上肯定是否可以广泛地应用参数高于 240~250 级绝对大气压与 580~590°C 的蒸汽，因为采用上述参数会使奥氏体钢的消耗量大大增加。例如阿力斯却尔姆公司所作的计算表明，采用珠光体钢制造下列蒸汽参数的发电机组是较为合理的：蒸汽压力为 250 级绝对大气压，一次蒸汽温度为 565°C，中间再热温度为 565°C；这时蒸汽循环的效率将不低于 40%。

苏联国立火力发电站设计院在选用 30 万及 60 万千瓦发电机组的蒸汽参数时，经过研究证明：锅炉出口蒸汽参数采用 $p=255$ 级绝对大气压， $t_{ne}=585/570^{\circ}\text{C}$ * 在经济上是合理的。

但是利用更高的压力和温度来进一步提高汽水循环经济性的工作，也仍在进行。例如，在美国已设计好一系列新蒸汽参数的发电机组（ p 达 352 级绝对大气压， $t_{ne}=649^{\circ}\text{C}$ ），并有一次或二次中间过热，再热温度达 565°C。

与 CKP-100 型前置式汽轮机配套的锅炉也设计成压力为 315 级绝对大气压，过热温度为 655/570°C。

苏联及国外电站中，某些新型锅炉所采用的蒸汽参数如表 2 所示。

* 分子代表一次蒸汽温度(°C)，分母代表中间再热蒸汽的出口温度。

表 2 新型大容量鍋炉所采用的蒸汽参数

| 机組 功率 (千瓩) | 汽輪机型式 | 鍋炉 型式 | 蒸 汽 参 数 | | | | 給水 溫度 (°C) | 蒸发量 (吨/小时) | 裝置地点 (电 站) | | | |
|------------------|-----------|----------|--------------------|-------------|--------------------|-------------|------------------|---------------|---------------|--|--|--|
| | | | 一次 蒸 汽 | | 中間再热蒸 汽 | | | | | | | |
| | | | 压 力 (絕對 大气压) | 溫 度 (°C) | 压 力 (絕對 大气压) | 溫 度 (°C) | | | | | | |
| 苏 联 产 品 | | | | | | | | | | | | |
| 50 | CBII | 直流式 | 250 | 585 | 29 | 420 | 260 | 500 | — | | | |
| 100 | K-100-130 | 汽鼓式 | 140 | 570 | — | — | 230 | 420 | — | | | |
| | | 直流式 | | | | | | | | | | |
| 100 | P-100-300 | 直流式 | 315 | 650 | 98 | — | — | 710 | — | | | |
| 150 | K-150-130 | 汽鼓式 | 140 | 570 | — | 570 | — | 540 | — | | | |
| | | 直流式 | 140 | 570 | — | 570 | — | 640 | — | | | |
| 200 | K-200-130 | 汽鼓式 | 140 | 570 | — | 570 | — | 640 | — | | | |
| 300 | K-300-240 | 直流式 | 255 | 585 | 36 | 570 | 260 | 950 | — | | | |
| 600 | K-600-240 | 直流式 | 255 | 585 | 36 | 570 | 260 | ~1900 | — | | | |
| 国 外 产 品 | | | | | | | | | | | | |
| 325 | — | 汽鼓式 | 190 | 565 | — | 535 | — | — | 逊-克列 | | | |
| 85 | — | 直流式 | 300 | 600 | 108/32 | 560/560 | 335 | — | 赫留斯(西德) | | | |
| 125 | — | 直流式 | 318 | 625 | — | 565/538 | 274 | — | 菲罗 | | | |
| 250 | — | 直流式 | 253 | 593 | — | 565 | 294 | — | 克利夫林脱 | | | |
| 325 | — | 直流式 | 352 | 649 | — | 565/565 | 299 | — | 爱迪斯頓(1号机组) | | | |
| 550 | — | 汽鼓式 | 169 | 569 | — | 569 | 258 | 1770 | — | | | |
| 450 | — | 直流式 | 247 | 565 | — | 565/565 | 280 | 1315 | 勃利脱 | | | |

目前, 科学研究机关正在进行探索新钢材的研究工作, 以便制造蒸汽参数 $p=400\sim 500$ 絶对大气压, $t_{ne}=700^{\circ}\text{C}$ 的鍋炉。

波多尔斯基重型机械制造厂已生产出两台容量为 35 吨/小时, 蒸汽参数为 400 絶对大气压, 700°C 的試驗鍋炉。

第二章 鍋爐機組的熱力系統及其選擇

鍋爐機組的熱力系統就是指鍋爐機組全部受熱面順着烟氣流動方向的循序位置和它們相互之間的聯接關係。

下面對單汽鼓式及直流式大容量鍋爐的熱力系統作一初步的研討。圖2表示配15萬瓩發電機組的汽鼓鍋爐(TII-90)的熱力系統。這台鍋爐應用蒸汽一次中間過熱，再熱溫度為 570°C ，空氣預熱溫度為 398°C 。在系統圖上畫出各個受熱面相互之間的聯繫，並標明工質(空氣、水及蒸汽)和煙氣的溫度。水從省煤器出來後進入鍋爐汽鼓，並在蒸發回路中轉化為蒸汽。生成的蒸汽從汽鼓引出，先進入對流過熱器的第一級管組，隨後順次流過爐頂管、水冷壁式輻射過熱器、屏式過熱器、第二級對流過熱器，而後引往汽輪機。高壓蒸汽溫度用兩級噴水調節：第一次噴水是在第二組屏管之前；第二次噴水則在第二級(出口)管組區間。由7、8兩管組組成的中間蒸汽過熱器裝在一次蒸汽過熱器的第一級與第二級管組之間。高壓蒸汽過熱器系輻射-對流混合式，而中間過熱器是純對流式。空氣預熱器作成兩級式。省煤器①是單級的。

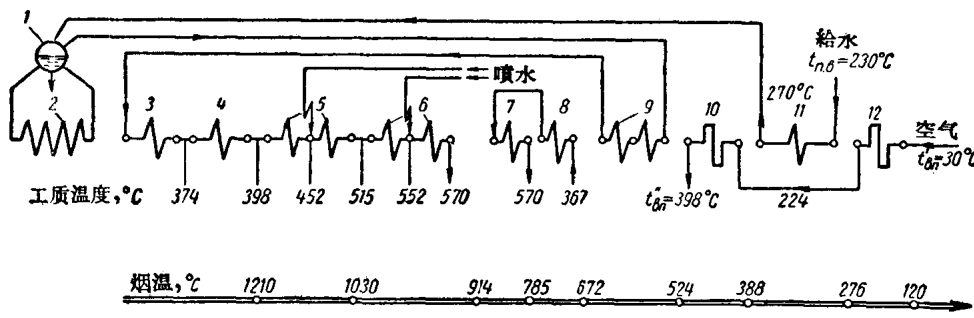


图2 TII-90型汽鼓鍋爐 ($D=530$ 吨/小時, $t_{ne}=570/570^{\circ}\text{C}$, $p=140/31$ 絶對大氣壓) 的熱力系統

1—汽鼓； 2—蒸發回路(水冷壁式)； 3—爐頂管； 4—水冷壁式輻射蒸汽過熱器； 5—屏式蒸汽過熱器； 6—第二級高壓對流蒸汽過熱器； 7 及 8—中間過熱器的第二級與第一級管組； 9—第一級高壓對流蒸汽過熱器； 10—第二級空氣預熱器； 11—省煤器； 12—第一級空氣預熱器

配20萬瓩發電機組的ИК-34-84CII型直流鍋爐，其熱力系統如圖3所示。水從省煤器11及9出來後引往下輻射區。在那裡形成汽水混合物後進入外置式過渡區。然後蒸汽開始先在雙面曝露水冷壁(在中輻射區及上輻射區)中過熱，最後再在一次蒸汽的出口對流管組中過熱。中間過熱器作成半輻射式，再熱蒸汽順次通過屏管5及6。在這個系統中，為調節高壓蒸汽溫度採用兩個噴水點將水噴入減溫器。

影響鍋爐機組熱力系統的因素很多，如：鍋爐型式(汽鼓式抑或直流式)，燃料種類，新蒸汽參數及中間過熱蒸汽的參數，採用的鋼材牌號及其溫度特性以及熱空氣溫度等。合理的系統是通過方案設計和技術-經濟比較等方法來獲得的。所採用的熱力系

① 原文中 и воздухонагреватель 恐是多余的。——譯注

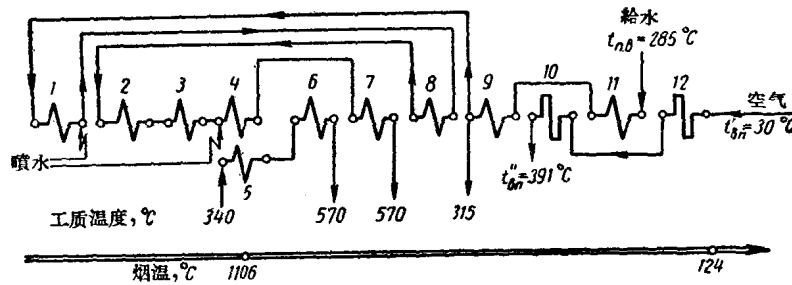


图3 PK-34-84CII型直流锅炉 ($D=640$ 吨/小时, $t_{n\theta}=570/570^{\circ}\text{C}$, $p=140/27$ 绝对大气压) 的热力系統

1—下辐射区；2—双面曝光水冷壁；3—中辐射区；4—上辐射区；5及6—第一、二级屏式中间过热器；7—一次对流蒸汽过热器；8—外置式过渡区；9—第二级省煤器；10—第二级空气预热器；11及12—第一级省煤器及第一级空气预热器

統首先应保証鍋炉机組工作高度可靠，并应尽可能减少高合金鋼的使用量。

对鍋炉机組的热力系統产生重要影响的还有所选用的蒸汽温度调节方法，例如对再热蒸汽温度的调节。

在拟定鍋炉热力系統时，設計師应已知各部分受热面中的流体温度（水，冷、热空气，过热器进、出口蒸汽温度等）以及蒸汽过热器出口管圈处的钢材牌号（由鍋炉設計的技术条件选定）。

区分吸收輻射热或对流热的受热面是以炉膛出口烟气温度的选择为基准。

提高炉膛出口烟温，就意味着提高炉膛中的平均温度、强化輻射热交换和縮小炉子容积，但同时却增加了尾部受热面，首先是省煤器中的对流吸热量；降低炉膛出口烟温則导致相反的結果。

知道了鍋炉机組各种受热面的成本价格并选定几个 t_m'' 值以后，就能对无灰燃料确定出最适宜的炉膛出口烟温。

表3列舉由莫斯科动力設計院提出的鍋炉受热面、烟空气管道、金属結構、汽水管道、炉墙及絕热材料等的制造和安装成本（估計值）。該表可用来进行初步的技术-經濟計算。如果沒有技术-經濟計算，就固体燃料來說，炉膛出口烟气温度可根据运行經驗，也即从保証鍋炉机組安全工作及沒有結渣为前提来进行选取。

表3 受热面的制造及安装成本（估計值）

| 名 称 | 单 位 成 本* (卢布) | 附 加 項 (%) | | 总 成 本 (卢布) |
|--------------------------------|------------------|-----------|---------|---------------|
| | | 安 装 | 运输及其他消耗 | |
| 高压鍋炉水冷壁 ($p=100$ 绝对大气压) | 125 | 20 | 20 | 175 |
| 15XM 鋼制的蒸汽过热器 ($p=100$ 绝对大气压) | 275 | 20 | 20 | 380 |
| 20号鋼制的蛇形管省煤器 ($p=100$ 绝对大气压) | 150 | 15 | 20 | 200 |
| 管式空气预热器 | 37 | 20 | 20 | 55 |
| 鑄鐵齒型-鰐片式空气预热器 | 150 | 10 | 20 | 200 |
| 烟空气管道 | 2300 | 20 | 20 | 3200 |
| 金属結構 | 1700 | 30 | 25 | 2650 |
| 鍋炉范围内管道及閥門 | 5000 | 20 | 20 | 7000 |

* 1955 年的价格。

固态排渣炉与液态排渣炉炉膛出口烟温 t_m'' 的极限容許值, 建議根据燃料种类和鍋爐容量^[70]按表 4 取用。这些推荐值只适用于下列場合, 即烟气从炉膛出口后进入对流受热面的拉稀部分(例如防渣管和过热器前几排被拉稀的管子)时能将烟气温度降低 50°C 以上。

表 4 燃用固体燃料时, 炉膛出口烟气的极限容許溫度
(根据結渣条件)

| 燃 料 | 炉 膛 出 口 烟 气 溫 度 ($^{\circ}\text{C}$) | |
|-------------|--|---------------------------|
| | $D < 260 \text{ 吨/小时}$ | $D \geq 260 \text{ 吨/小时}$ |
| 无烟煤末 (AIII) | 1150 | 1100 |
| 貧煤 | | |
| 頓涅茨貧煤 | 1100 | 1050 |
| 阿拉里切夫斯克貧煤 | 1150 | 1100 |
| 烟煤 | | |
| 卡拉岡吉斯克烟煤 | 1150 | 1100 |
| 凱米洛夫斯克烟煤 | 1100 | 1050 |
| 基賽洛夫斯克烟煤 | 1100 | 1050 |
| 伏尔庫茨烟煤 | 1100 | 1050 |
| 选煤尾品 | | |
| 頓涅茨洗煤副产品 | 1100 | 1050 |
| 褐煤 | | |
| 莫斯科近郊褐煤 | 1100 | 1050 |
| 齐略宾斯克褐煤 | 1100 | 1050 |
| 波哥司洛夫斯克褐煤 | 1150 | 1100 |
| 頁岩 | | |
| 爱司頓斯克及克达夫斯克 | 900 | 850 |
| 伏尔加 | 950 | 900 |
| 鏟采泥煤 | 1000 | 950 |

大容量鍋爐 ($D \geq 260 \text{ 吨/小时}$) 和中等容量的鍋爐 ($D < 260 \text{ 吨/小时}$) 比較, 炉膛出口烟温 t_m'' 要低 50°C , 这点对前者來說具有重大的意义, 因为在大型汽輪发电机組中, 鍋爐机組工作的可靠性和連續工作期限不应低于蒸汽輪机。

对于未曾列入表 4 中的其他煤种, 炉膛出口烟温可采取等于灰錐在半还原性介质中的开始变形温度, 但不应超过 1150°C .

半輻射的屏式受热面一般放置在烟气温度剛超过表 4 所列数据的开始区域, 故当屏式受热面直接布置在出口烟窗附近时, 炉膛出口烟温可按設計經驗以及屏管金属的工作可靠性来取用。例如, 在蒸发量大于 260 吨/小时燃用无烟煤末 (AIII) 的鍋爐中, 屏式受热面的进口烟温可比表 4 的推荐值高出 $130\sim190^{\circ}\text{C}^*$.

在某些具体場合下, 排烟温度 t_{yx} 可用技术-經濟計算加以确定, 計算需以燃料成本与金属成本的比例、負荷种类以及鍋爐机組每年的利用小时数等为依据。若提高排烟温度, 鍋爐效率和金属耗量即降低, 同时燃料消耗量增大。若金属成本相同, 則对价昂、高热值的燃料以及年利用小时數較大的鍋爐机組, 应选用較低的排烟温度。

* 在做配 30 万瓩发电机組燃用无烟煤末的鍋爐方案設計时, 屏式受热面进口烟温在 $1160\sim1240^{\circ}\text{C}$ 范圍之内取用。

假使不进行技术-經濟計算，則排烟溫度 t_{yx} 可按尾部受热面中的最小容許溫压預先确定。該溫压在省煤器冷端建議取用 40°C 左右；至于空气預热器，在双級布置时，对第一級管式空气預热器和在单級布置时对整个空气預热器的热端溫压取用 $\sim 30^{\circ}\text{C}$ 。

当設計新鍋炉时，排烟溫度建議根据燃料水份及給水溫度来选用（表 5）。

表 5 大容量鍋炉排烟溫度的推荐值

| 燃 料 | 給 水 溫 度 ($^{\circ}\text{C}$) | 排 烟 溫 度 ($^{\circ}\text{C}$) |
|------------------------------|--------------------------------|--------------------------------|
| 干燃料, $W^n \leq 2\% \text{①}$ | 215 | 120~130 |
| 湿燃料, $W^n = 5 \sim 20\%$ | 215 | 140~150 |
| 高水份燃料, $W^n > 25\%$ | 215 | 160~170 |

液态排渣炉和旋风炉的排烟溫度，可取用与固态排渣炉一样的数据。

在配 30 万 ~ 60 万瓩机組的鍋炉中，若燃用干燃料，排烟溫度建議不高于 $120 \sim 130^{\circ}\text{C}$ ；若燃用多水份或多硫燃料，建議不高于 $140 \sim 150^{\circ}\text{C}$ 。

当鍋炉的蒸发量与額定值不同时，排烟溫度可近似地按下列比例式計算：

$$\frac{t_{yx1}}{t_{yx2}} \approx \left(\frac{D_1}{D_2} \right)^{\frac{1}{3}} \approx \left(\frac{B_1}{B_2} \right)^{\frac{1}{3}}, \quad (1)$$

式中 B_1 及 B_2 ——当鍋炉蒸发量为 D_1 及 D_2 时，相应的燃料消耗量。

早先制造的高压鍋炉，其排烟溫度几乎全都取得很高，因为那时偏重在节约金属而不在减少燃料消耗量。

热空气溫度的高低对于对流烟井中受热面的热力系統有着显著的影响。

显然，提高空气的預热溫度就能强化受热面的热交換和减少燃燒室中的热损失，尤其在使用液态排渣以及燃燒低揮发份或潮湿的燃料时，就必须采用热空气。但是这样就要增加空气預热器受热面，并使鍋炉机組的热力系統复杂化。

鍋炉所采用的热空气溫度，一般可根据燃料和燃燒方式按表 6 选用^②。

表 6 推荐的預热空气溫度

| 爐 子 特 性 | 燃 料 | 推荐的空气溫度 ($^{\circ}\text{C}$) |
|-------------------------|---------------------------|--------------------------------|
| 固态排渣、閉式干燥系統 | 烟煤、西北矿区頁岩、折算水份小于 8% 的其他燃料 | 250~300 |
| | 伏尔加頁岩 | 320~350 |
| | 无烟煤末及貧煤 | 380~420 |
| 固态排渣、閉式干燥系統，包括 ЦКТИ 风播爐 | 褐煤、礦采泥煤及其他折算水份大于 8% 的燃料 | 380~420 |
| | 与燃料种类无关 | 380~420 |
| 液态排渣，其中包括旋风爐 | 重油及天然气 | 200~300 |
| | 高炉煤气 | 250~350 |
| 室燃爐 | | |

① 折算水份的单位應該是 % / 千千卡 / 公斤，一般也可简写为 %；原文漏掉。——譯注

在新制的大容量鍋爐中，其中包括 30 万 ~ 60 万瓩机組，若燃用烟煤及干燥褐煤（固态排渣），建議預热空气溫度不低于 250°C ；而对沒有預先干燥的褐煤、多灰烟煤及无烟煤末（液态排渣），建議不低于 $350 \sim 400^{\circ}\text{C}$ 。

任何鍋爐机組的热力系統，应按各个組成部分分別研究。

若要把空气加热到 $250 \sim 270^{\circ}\text{C}$ ，空气預热器和省煤器一般只須作成单級式。在这种情况下，省煤器的进口烟温就等于过热器的出口烟温，而省煤器的出口烟温則按空气預热器中烟、空气的热平衡方程式确定。

将空气預热溫度进一步提高到 $400 \sim 410^{\circ}\text{C}$ 时，就必须采用双級布置空气預热器的热力系統。

选择第二級管式空气預热器的进口烟气溫度时，应保証上管板工作的可靠性。如用碳鋼制造管板时，烟气的极限溫度应根据热空气溫度 t''_{an} 加以确定，亦即 $t_2 = 900 - t''_{an}^{\circ}\text{C}$ ，但不能超过 530°C 。

第一級預热器的出口空气溫度对每一級空气預热器、省煤器的温压，以及受热面的大小都有影响。当这个溫度增大时，第一級空气預热器的受热面和吸热量增加，而温压减少；同时第二級空气預热器的吸热量和受热面則减少，而温压增加；省煤器管組中的温压也增大。因此在分配两級空气預热器之間的热量和选择合理布置时，应按最經濟的受热面和厂用电（送、引风），进行技术-經濟計算来加以全面平衡。一般的方法是假定几个第一級預热器出口的空气溫度数值，然后进行方案的热力計算。

如果不进行这些計算，那么对于高压鍋爐第一級預热器出口的空气溫度可取得比給水溫度高出 15°C ，甚至更多。例如，在 TII-440 型鍋爐中，它高出給水溫度达 30°C 之多。

在空气預热器作双級布置的系統中，省煤器可作成单級式或双級式。如果第二級空气預热器管板由碳鋼制成，且其进口烟温低于 530°C ，則管板保証能可靠地工作，故采用第二級省煤器就无此必要；如果烟气溫度超过 530°C ，那么为了保护第二級空气預热器的管板免受高温烟气的冲刷，就必须布置第二級省煤器。

假使鍋爐具有中間过热器或外置式过渡区，空气預热器的热端也可利用这些管組来保护；而第二級省煤器是否必須采用，当由其他理由来确定。例如，当希望利用省煤器将水加热至一定的热焓和一定的溫度时，即可裝設第二級省煤器（67CII，IIK-34-84CII 型直流鍋爐等等）。

为了进一步提高空气溫度，必须在烟道內裝設用耐热金属制造的預热器“热”段。例如，在設計燃燒无烟煤粉并带有高效除渣前置炉的 TII-6 型 ($D=230$ 吨/小时， $p=100$ 絶对大气压) 鍋爐时，以捷尔任斯基命名的全苏热工研究所 (ВТИ) 考虑在管式空气預热器中将一次空气加热至 500°C ，于是該預热器的“热”段就用 ЭЯ-1T 耐热鋼制成。当空气高度預热再加上中間过热时，采用单級式省煤器是恰当的。

在国外鍋爐的設計中，預热空气溫度甚至有超过 500°C 的。例如凡司捷利斯电站（瑞典），为了快速升火（事故备用炉），裝置了空气預热达 600°C 的鍋爐。它的第二級空气預热器布置在第一級与第二級蒸汽过热器之間。图 4 为这台鍋爐的热力系統。

空气高度預热的双級式空气預热器，由于它要显著增加对流烟井的高度，故而使大型和超大型鍋爐的布置发生困难。可是根据燃燒低揮发份燃料其中首先是燃燒无烟煤

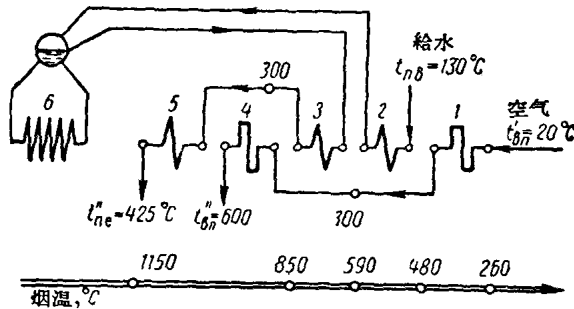


图4 快速升火鍋炉的熱力系統(凡司捷利斯電站)

1及4—第一級和第二級空氣預熱器；2—省煤器；
3及5—第一級和第二級過熱器；6—蒸發回路

未的經驗表明：如果能很成功地把高溫烟氣吸往火炬根部，那麼就沒有十分必要把空氣預熱至400°C。故電站部(MЭC)認為對於無煙煤末及愛基巴杜斯克煤，熱空氣溫度可以降低到350°C。

這樣，就能簡化鍋爐熱力系統，并當用再生式回轉空氣預熱器時仍可在單級中把空氣加熱到330~340°C，因此空氣預熱器的高度可大為降低，同時對流煙井中受熱面的布置以及爐子中噴燃器的布置也都比較方便。

在大功率機組的汽鼓鍋爐中，如果不計由後水冷壁延伸而成的吸熱量很少的蒸汽引出管，那麼從爐膛出口到第二級省煤器之間的煙道一般只用來放置蒸汽過熱器。

鍋爐機組熱力系統中過熱器受熱面的布置程序，是由各個管組之間的吸熱量分配所確定的。同時應接受熱介質和煙氣流的溫度確定其管壁溫度和選定鋼號。布置對流管組時，也應考慮使金屬耗量，尤其是高合金鋼的金屬耗量用得最少，而仍獲得比較平坦的過熱器汽溫特性①。

若蒸汽溫度等於或高於540°C，高壓蒸汽過熱器一般按輻射-對流混合系統製成。這時過熱器的輻射受熱面往往布置在爐頂上以及爐膛四壁，而利用屏管作為半輻射受熱面。當輻射傳熱不低於總熱量的50~60% (輻射系數 $\mu_{pa\delta} \approx 0.5 \sim 0.6$)時，可使過熱器獲得較為平坦的汽溫特性。

當鍋爐負荷降低時，輻射受熱面中蒸汽的熱焓增量稍有增加，而在對流管組中則有所減少，因此只要適當的選擇輻射受熱面和對流受熱面的面積，按這一系統製成的蒸汽過熱器就能獲得平坦的汽溫特性。若能借助專門裝置(噴水、煙氣再循環、改變各個爐膛中的放熱量等等)來對高壓過熱汽溫進行調節，就可保證過熱汽溫非常穩定，過熱器工作十分可靠，而且廠用電消耗也最少。

低壓及中壓的中間蒸汽過熱器常常作成對流式。

為了改善鍋爐機組的性能，在單爐膛布置的情況下，對流中間過熱器可安裝在第一級與第二級一次蒸汽過熱器之間；也可以將其分成兩個管組，並沿着煙氣流程按下列程序布置：第二級(出口)高壓過熱器，第二級(出口)中間過熱器，第一級高壓過熱器，第一級中間過熱器。圖2所示的TII-90型汽鼓鍋爐的熱力系統中採用第一種方案，將對流

① 原文意思為“平滑的過熱器特性”，涵義不夠確切；實質上就是指過熱蒸汽溫度與鍋爐負荷的變化關係曲線比較平坦，故在譯文中全部修改為“過熱器的汽溫特性較為平坦”。——譯注

中間過熱器裝在平均煙溫約為 750°C 的地帶。

蒸汽過熱器布置方案的選擇，與技術-經濟計算有關。例如，在 TII-90 型鍋爐中，對流管組兩種布置方案的比較可以表明：第一種布置方案可使中間過熱器具有較好的性能，熱偏差比較小，並能使金屬耗量稍為降低。

為了保證在低壓或中壓的中間過熱器中的壓力降不超過規定，在某些情況下最好使用由屏式受熱面組成的半輻射系統；或使用由屏式受熱面和對流受熱面共同組成的半輻射-對流混合系統。在圖 3 所示的直流鍋爐熱力系統中，中間過熱器分成兩個屏式管組。這時再熱蒸汽首先在爐膛上部的屏管中受熱，然後引往轉彎煙室的屏管中繼續被加熱至額定參數。

鍋爐運行經驗指出，高壓或超高壓的飽和蒸汽從鍋爐汽鼓可直接引往蒸汽過熱器的輻射部分，因為蒸汽經過良好的潔淨和清洗後，其中只殘留極少量的鹽類（它們的數量低於蒸汽的溶解能力），故在管子內壁未曾發現鹽類沉淀。

因此，如果沒有中間蒸汽過熱器，蒸汽由汽鼓出口後最好引入屏式受熱面、爐頂管，隨後通往對流管組。為了減小熱偏差（並列蛇形管中蒸汽溫度的差異值）以及改善蒸汽溫度的調節，在最後一級對流管組中，蒸汽的吸熱量應控制在 $25\sim 35$ 千卡/公斤的範圍以內。

要獲得高溫蒸汽和應用中間再熱，在某些場合下，高壓部分不得不使用輻射受熱面。這是因為煙氣的對流熱不足或是放置蒸汽過熱器的地位不夠之故。在這種情況下，高壓蒸汽過熱器可作成水冷壁式的輻射受熱面。它們通常裝設在爐膛上半部，因為該處輻射熱流較小，而且沿着寬度方向的熱流分布也比較均勻。

在大容量鍋爐 ($p=140$ 絕對大氣壓， $t_{ne}=570^{\circ}\text{C}$) 中，通常採用一次中間再熱，中間再熱溫度為 570°C ，壓力為 30 絶對大氣壓；在超臨界蒸汽參數時，還往往採用二次中間再熱。例如若一次蒸汽壓力為 315 絶對大氣壓時，第一次中間再熱在 $60\sim 85$ 絶對大氣壓，第二次中間再熱則在 $13\sim 15$ 絶對大氣壓。在這種情況下，低壓中間過熱器作成對流式，而高壓中間過熱器則作成輻射式（將受熱面布置在爐膛內）或輻射-對流混合式。

對於由兩個爐膛或是由一個爐膛但具有幾個爐室和烟道所組成的鍋爐機組，其熱力系統可設計得使每個爐室及烟道都能用來調節過熱蒸汽溫度。例如在一個烟道中裝設高壓蒸汽過熱器，而在另一個烟道中裝設中間蒸汽過熱器，這樣就可能通過改變各個爐室的熱力工況來獨立地調節過熱蒸汽溫度。圖 5 所示為配 20 萬噸單元機組、容量為 640 噸/小時汽鼓鍋爐熱力系統的設計方案之一，該方案採用分開裝置的過熱器。在國外的鍋爐製造業中，也常採用這種系統。例如在配 35 萬噸機組的鍋爐 ($D=1080$ 噸/小時， $p=150$ 絶對大氣壓， $t_{ne}=565/565^{\circ}\text{C}$) 中，也是用改變爐內工況以調節各個烟道中的過熱蒸汽溫度。

裝在汽鼓鍋爐各個並列烟道中的省煤器和空氣預熱器，最好能吸收相等的熱量①，這樣即可獲得兩路相同溫度的水流及空氣，從而顯著地減少了熱偏差，並且大大有利於鍋爐機組的自動控制。

① 原文意思含糊不清，翻譯時已稍作更動。——譯注

由于热焓增量不等和蒸汽流量①不相同，所以高压蒸汽过热器和中間蒸汽过热器的吸热量往往并不相等。为了保証两个烟井中有相同的吸热量，一次蒸汽的辐射过热器常常分装在两个炉膛内或将全部屏式受热面均作为一次蒸汽过热之用。

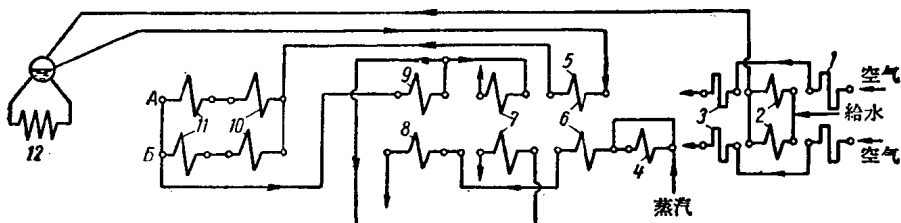


图 5 TH-100 型锅炉 ($D=640$ 吨/小时②, $p=140$ 绝对大气压, $t_{ne}=570/570^{\circ}\text{C}$) 的热力系統

A—锅炉左烟道；B—锅炉右烟道；1及3—第一級与第二級空气預热器；2—省煤器；4—中間蒸汽过热器的调节管組；5及7—第一級与第二級高压蒸汽过热器；6—对流中間蒸汽过热器；8—屏式中間蒸汽过热器；9—屏式高压蒸汽过热器；10—炉頂管；11—水冷壁式高压辐射蒸汽过热器；12—蒸发回路

直流鍋炉的熱力系統有它自己的某些特点，并与下列因素有关：受热介质的参数（压力和温度），是否具有中間再热以及过渡区型式，等等。

在亚临界蒸汽压力的直流鍋炉中，对受热面的热量分配具有重要影响的是受热介质的相态变化。在这种鍋炉中，省煤器往往作成辐射-对流混合式。为了比較均匀地分配进入下辐射区管圈的水流，在进行計算时，应使对流省煤器出口水的热焓比加热到沸騰温度的饱和水焓約低 40~50 千卡。

对流省煤器順着烟气流程裝設在空气預热器前面。省煤器中的吸热量等于

$$[i' - (40 \sim 50)] - i_{ns} \text{ 千卡/公斤,}$$

式中 i' ——沸騰温度时水的热焓；

i_{ns} ——給水热焓。

当压力为 100~140 绝对大气压时，随着蒸汽流带出一部分气态的硅酸盐和鈉盐，然而大部分是在水的加热和蒸发过程中析出变成固态，并沉积于管路中。經驗指出，绝大多数盐类是在蒸发将近結束的区段中，也即在蒸汽干度約为 $x=0.8$ 的区段中开始沉积的。

直流鍋炉的設計人員考慮到这种状况，于是在汽水通道中划分出一个称之为过渡区的受热面，在其中可以析出盐份。过渡区一般裝設在烟气温度較低的区域。

为了减少直流鍋炉的清洗次数以及增加两次清洗間隔期間的运行周期，一般都应用外置式过渡区，它裝設在省煤器之前。

但应用外置式过渡区，会使直流鍋炉的結構复杂化，而且使得湿蒸汽在过渡区各管圈間的分配很难均匀，同时也会增长管道、增加联箱、紧固零件的数目，等等；此外，在对流烟井中裝設外置式过渡区还会使蒸汽过热器吸收辐射热的份額增加。

在高压鍋炉中，外置式过渡区照例分成两个管組，在两組之間裝設蒸汽清洗-分离装置为了减少进入辐射过热器的盐份（当鍋炉工况变动时），过渡区的第二管組的吸热

① 原文为循环蒸汽量，恐系笔誤。——譯注

② 原文为 660 吨/小时，恐系誤印。——譯注